

КОЭФФИЦИЕНТ ТРЕНИЯ В ПУСКОВОМ РЕЖИМЕ ЭНЕРГЕТИЧЕСКОЙ УСТАНОВКИ

Канд. техн. наук, доц. Ю.Г. ВОЛОДИН, асп. К.С. ФЕДОРОВ, асп. М.В. ЯКОВЛЕВ

Выполнено экспериментальное исследование влияния нестационарности, вызванной резким увеличением температуры газового потока, на величину локальных значений коэффициента трения.

Accomplished experimental research under the influence of unsteady-state received at the rapid augment of the temperature in the gas flow on quantity of the local value coefficient friction.

Функционирование энергетических и тепловых установок сопровождается воздействием на кинематическую и тепловую структуры потока эффектов нестационарности и неизотермичности. Появление таких возмущающих течение факторов связано с выполнением регламентных мероприятий, выбором оптимальных маневренных характеристик и т.д.

Один из важнейших параметров, отражающих гидродинамику течения и протекание теплообменных процессов, — это коэффициент трения C_f . Рассмотрим совместное влияние неизотермичности и нестационарности на начальном участке цилиндрического канала при резком увеличении температуры газового потока. Экспериментальные исследования были проведены на аэродинамическом стенде разомкнутого типа с электродуговым подогревом рабочего тела. Опытный канал представляет собой цилиндрическую трубу, выполненную из стали X18Н9Т (диаметр $D = 45$ мм), составленную из отдельных секций длиной D и толщиной стенок 0,08 мм. В эксперименте индуктивными датчиками давления ДМИ и хромель-копелевыми и хромель-алюмелевыми термопарами диаметром 40 мкм измерялись: полное давление P_0^* , температура на входе в опытный канал T_0 , распределение по длине канала температуры стенок T_w , статического давления и пристенных касательных напряжений трения τ_w [1, 2]. Информация от первичных преобразователей температуры и давления через 8-канальный модуль аналогового ввода ADAM 4019 и RS — 232/485 поступала в ЭВМ. Метрологические исследования [3–5] характеристик измерительных систем показали, что исследуемые системы не имеют искажений амплитуды и фазы во всем диапазоне измерений. Диапазоны составили: числа Рейнольдса Re , построенного по среднерасходной скорости, 30000...60000, температуры рабочего тела от 293 до 1500 К с градиентом температуры до 12000 К/с. Среднеквадратичные погрешности измерения температуры и коэффициента трения в опытах не превысили 2,5 % и 9,6% соответственно.

Гидродинамическая нестационарность в опытах при постоянстве массового расхода обуславливается увеличением температуры газового потока T_0 на входе в опытный канал при пуске плазмотрона, при этом наблюдается монотонный рост температур стенок T_w во всех измерительных сечениях канала. Темп прогрева стенок по длине опытного канала различен и снижается с продвижением по направлению течения по мере увеличения толщины пограничного слоя.

Для анализа [6] влияния нестационарности и продольного градиента давления на характеристики трения запишем уравнение движения

$$\rho \frac{\partial w_x}{\partial t} + \rho w_x \frac{\partial w_x}{\partial x} + \rho w_r \frac{\partial w_x}{\partial r} = -\frac{dp}{dx} + \frac{1}{r} \frac{\partial(r\tau)}{\partial r}, \quad (5)$$

которое для пристенной области имеет вид

$$-\frac{dp}{dx} + \frac{1}{r} \frac{\partial(r\tau)}{\partial r} = 0. \quad (6)$$

Учитывая, что для потенциальной области потока уравнение записывается в виде

$$-\frac{dp}{dx} = \rho_o \frac{\partial w_o}{\partial t} + \rho_o w_o \frac{\partial w_o}{\partial x}, \quad (7)$$

получаем

$$\bar{\tau}_w' = \left(\frac{\partial \bar{\tau}}{\partial \xi} \right)_w = -\frac{2\delta}{C_f} \frac{1}{w_0^2} \frac{\partial w_0}{\partial t} - \frac{2\delta}{C_f} \frac{1}{w_0} \frac{\partial w_0}{\partial x} - \frac{\delta}{r_0} = z + \lambda - \frac{\delta}{r_0}, \quad (8)$$

где z — параметр нестационарности, λ — параметр продольного градиента давления, δ — толщина пограничного слоя, r_0 — радиус канала; ρ — плотность; w_0 — скорость потока; t — время; x — продольная координата; y — поперечная координата; $\zeta = y/\delta$ — относительная поперечная координата; индексы: о — параметры на оси потока, w — параметры на стенке.

Степень влияния нестационарности и неизотермичности определяется изменением начальных условий. Резкое увеличение температуры (рис. 1) газового потока, сопровождаемое соответствующим уменьшением плотности и повышением вязкости исследуемой среды, приводит к увеличению скорости потока. Изменение скорости в потенциальной

части потока $\frac{\partial w_o}{\partial t}$ достигает 700 м/с^2 , а комплекс $-\frac{1}{w_0^2} \frac{\partial w_0}{\partial t}$ (8), характеризующий параметр нестационарности z (8), достигает максимальных значений при $t = 0,04 \text{ с}$. Тем-

пературный фактор $\Phi_h = \frac{T_w}{T_o}$, уменьшается от 1 до 0,25.

Известно [7], что ускорение потока, вызванное нестационарностью и неизотермичностью (т.е. при уменьшении z и Φ_h), приводит к большей заполненности профиля скоростей и сопровождается ростом пристенных касательных напряжений трения τ_w . В наших опытах наибольших значений τ_w достигает в момент времени $t = 0,04 \text{ с}$, при котором параметр нестационарности z максимальен. Во все моменты времени величины пристенных касательных напряжений трения по длине канала уменьшаются вниз по течению. Коэффициент трения (рис. 2) во всех измерительных сечениях также увеличивается до момента времени 0,04 с, а затем плавно уменьшается. Экспериментальные точки располагаются выше линии, представляющей стандартный закон трения, определяемый выражением [7].

$$\frac{C_{f_0}}{2} = \frac{0,0128}{\text{Re}^{0,25}}. \quad (9)$$

Для выявления количественного влияния гидродинамической нестационарности на коэффициент трения в интервале $0 < t < 0,15 \text{ с}$ опытные точки, независимо от расположения

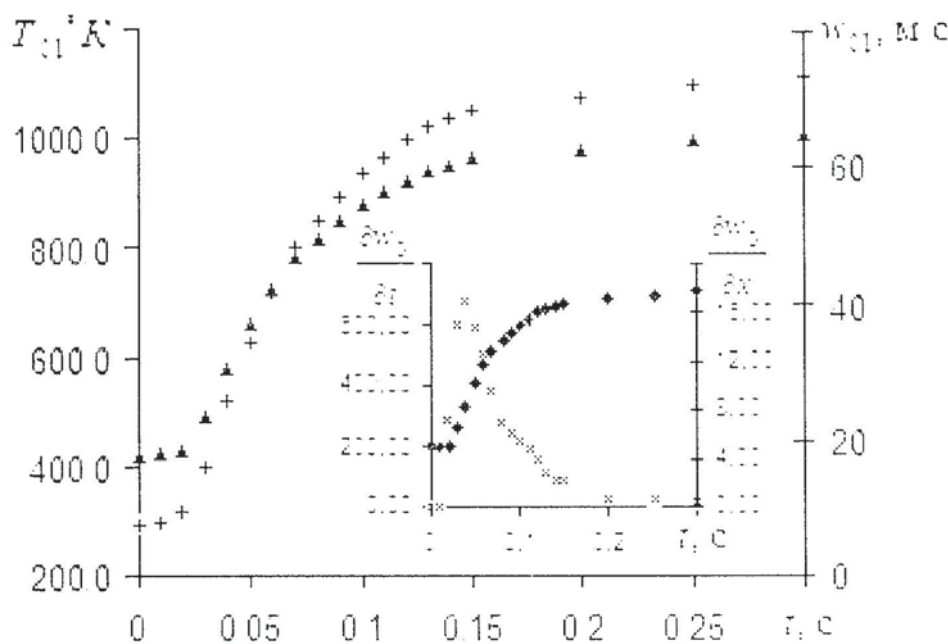


Рис. 1. Эволюция во времени начальных условий: T_{01} , \blacktriangle w_{01} , \blacklozenge $\partial w_0 / \partial x$, \times $\partial w_0 / \partial t$.

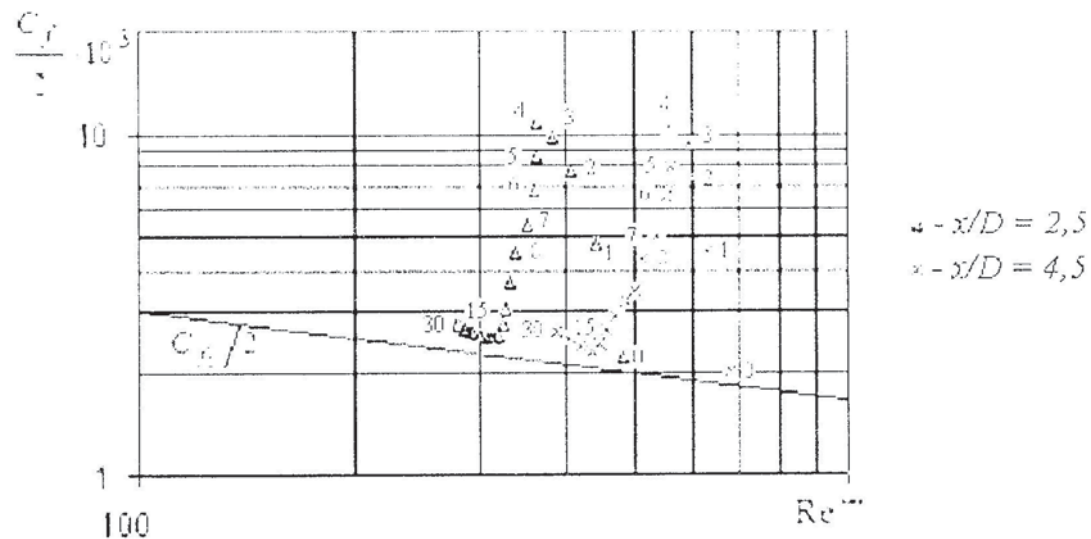


Рис. 2. Зависимость коэффициента трения от числа Re^{**} ; z — продольная координата. Цифры около точек означают время 100 с.

жения измерительного сечения по длине канала, аппроксимированы степенным полиномом вида

$$\Psi_z = \frac{C_f}{C_{f0}} = 1 - 0,0375z^2 - 0,635z. \quad (10)$$

К моменту времени $t = 0,15$ с нестационарный процесс можно считать законченным, так как в интервале $t > 0,15$ с, который характеризуется постоянством температуры T_0 газового потока, опытные значения C_f располагаются около стандартной зависимости и несколько выше. Учет факторов неизотермичности и продольного градиента давления позволяет отклонившиеся точки в интервале времени $t > 0,15$ с сгруппировать около стандартной зависимости в пределах точности эксперимента.

СПИСОК ЛИТЕРАТУРЫ

1. Репник Е. У., Кузенков В. К. Исследование нового метода опытного определения поверхностного трения в турбулентном пограничном слое // Инж. — физ. журн. — 1980. — Т. 38, № 2. — С. 197—200.
2. Фаури А. В., Пустовойт Ю. А., Фомин А. В., Голубев Ю. Л. Измерение пристеночных касательных напряжений в цилиндрическом канале методом «трубка-выступ» // Тепло- и массообмен в химической технологии. — Казань, 1981. — С. 3—5.
3. Никифоров А. Н., Фаури А. В. и др. Исследование динамических характеристик пневмометрических приемников // Тр. метр. Ин-тов СССР. — М., Казань: Изд-во стандартов, 1977. — Вып. 182 (242). — С. 84—88.
4. Гильфанов К. Х. Экспериментальное определение динамических характеристик микротермопар, измеряющих температуру газового потока // Тепло- и массообмен в двигателях летательных аппаратов. — Казань: КЛИ, 1982. — С. 51—54.
5. Гильфанов К. Х., Игнатьев Ю. П., Володин Ю. Г. Автоматизированный стенд для динамической градуировки микротермопреобразователей // Развитие системы метрологического обеспечения измерений расхода и количества веществ. — Казань, 1984. — С. 115—116.
6. Фаури А. В. Законы трения и теплоотдачи в турбулентном пограничном слое // Тепло- и массообмен в двигателях летательных аппаратов. — Казань: КАИ, 1979. — Вып. 2. — С. 62—69.
7. Кутателадзе С. С., Леонтьев А. И. Тепломассообмен и трение в турбулентном пограничном слое. — М.: Энергия, 1972. — 342 с.